

DC-Offset 제거 기능을 향상시킨 거리계전 알고리즘

*노재근, *강상희
*명지대학교 전기공학과

**남순열, **박종근
**서울대학교 전기공학부

A Distance Relaying Algorithm Using an Improved Technique for Removing DC-offset

*Jae-Keun No, *Sang-Hee Kang
Myongji University

**Soon-Ryul Nam, **Jong-Keun Park
Seoul National University

Abstract - This paper presents a distance relaying algorithm based on the Discrete Fourier Transform(DFT) for elimination of DC-Offset. When the DFT is applied to current signal, the real and imaginary parts of fundamental component consist of fundamental component itself and DC-Offset. The DC-Offset is calculated by four consecutive values of the imaginary components, so that the fundamental component can be accurately estimated. Performance evaluation is presented for A-phase ground faults on 154kV 80km overhead transmission line. The proposed algorithm is inspected by software simulation and hardware simulation..

1. 서 론

거리 계전 방식은 송전선로 계통에서 가장 널리 사용되는 보호 방식으로, 계전기 설치점의 전압, 전류만을 입력신호로 사용하기 때문에 양단간의 통신선로를 이용할 필요가 없으며 또한 보호협조에 있어서도 사용이 용이한 특징을 지니고 있다. 본 논문에서는 대표적인 거리 계전 알고리즘으로 널리 사용되는 DFT(Discrete Fourier Transformation)[1]를 이용한다. DFT를 거친 후의 실수부와 허수부도 하나의 신호이며 이 신호를 DC-Offset 성분과 기본파 성분만으로 가정하여 기본파 성분을 소거하고 DC-Offset 성분을 구하여 보상한다.

일반적으로 0도 고장시 전류성분에 크게 나타나는 DC-Offset 성분은 지수함수적으로 감소하는 성분이어서 직교변환으로 제거가 어렵다. 그러므로 본 알고리즘은 DC-Offset의 영향이 더 큰 허수부를 이용하여 DC-Offset을 구하며 이는 Sin필터형태로 고조파 제거 효과도 병행하여 볼 수 있다. 종래의 DC-Offset 제거를 위한 Mimic필터나 시정수를 사용하는 FIR필터와는 달리 대수식에서 DC-Offset 성분을 구하여 이를 정확하게 보상한다. 알고리즘의 검증을 위하여 EMTP(Electromagnetic Transients Program)를 사용하여 1회선 송전선로에서 1선지라고장과 선단지라고장을 모의하였으며 이 때 고장 위상각 0°의 및 다양한 고장점 거리를 통해 DC-offset 과 고조파의 영향을 최대한 고려했다. 또한 DSP를 이용한 하드웨어 모의로 기본파 성분에서 DC-Offset이 제거됨을 검증하였다.

2. 본 론

2.1 고장 신호 $I(k)$ 의 가정

고장신호 $I(k)$ 는 식 (1)과 같이 DC-Offset 성분, 기본파 성분 및 고조파 성분들의 합으로 가정된다.

이러한 신호에 거리 계전 알고리즘으로 DFT를 사용하였을 때, 이는 직교변환으로 기본 주파수의 배수에 해당하는 주파수 성분은 모두 제거되고, 기본 주파수 성

분과 DC-Offset 성분만이 남게된다[2].

$$I(k) = Ae^{\frac{-j\Delta t}{T}} + \sum_n B_n \sin(nw \cdot k\Delta t + \theta_n) \quad (1)$$

$$\begin{aligned} V_x &\approx \frac{2}{N} \sum_{j=0}^{N-1} v_j \cos\left(\frac{2\pi j}{N}\right) && : \text{실수부} \\ V_y &\approx \frac{2}{N} \sum_{j=0}^{N-1} v_j \sin\left(\frac{2\pi j}{N}\right) && : \text{허수부} \end{aligned} \quad (2)$$

식(2)를 이용하여 실수부와 허수부를 구하게 되며, 본 알고리즘에서는 DC-Offset의 영향이 더 큰 허수부를 이용하여 연산한다. 이는 또한 Sin필터형태가 됨으로써 고조파를 제거하는 기능도 가지게 된다.

$$\begin{aligned} I^{lm}(N+k) &= -\frac{A(w\tau)^2}{\pi} \cdot \frac{(1-e^{-\frac{j\Delta t}{T}})}{1+(w\tau)^2} e^{\frac{j\Delta t}{T}} - B_1 \cos(w \cdot k\Delta t + \theta_1) \\ &= y_1 \cdot e^{\frac{j\Delta t}{T}} + y_2 \cdot \cos(w \cdot k\Delta t) + y_3 \cdot \sin(w \cdot k\Delta t) \end{aligned} \quad (3)$$

$$y_1 = -\frac{A(w\tau)^2}{\pi} \cdot \frac{(1-e^{-\frac{j\Delta t}{T}})}{1+(w\tau)^2}, \quad y_2 = -B_1 \cos(\theta_1), \quad y_3 = B_1 \sin(\theta_1)$$

허수부 성분은 고조파가 제거된 DC-Offset 성분과 기본파 성분으로 합축되고, 기본파 성분은 삼각함수 분해를 통해 다시 sin부와 cos부로 나뉘게 되며 식(3)의 y_1 은 DC-Offset의 크기이고 y_2, y_3 는 각각 기본파 성분의 실수부 및 허수부의 크기이다.

2.2 DC-Offset의 연산

한주기 DFT의 허수부를 이용하여 얻은 페이저의 연립식에서 기본파 성분을 소거함으로써 DC-Offset 성분을 구할 수 있다.

$$\begin{aligned} I^{lm}(0) &= y_1 \cdot e^{\frac{j\Delta t}{T}} + y_2 \cdot \cos(w \cdot 0 \cdot \Delta t) + y_3 \cdot \sin(w \cdot 0 \cdot \Delta t) \\ I^{lm}(1) &= y_1 \cdot e^{\frac{j\Delta t}{T}} + y_2 \cdot \cos(w \cdot 1 \cdot \Delta t) + y_3 \cdot \sin(w \cdot 1 \cdot \Delta t) \\ I^{lm}(2) &= y_1 \cdot e^{\frac{j\Delta t}{T}} + y_2 \cdot \cos(w \cdot 2 \cdot \Delta t) + y_3 \cdot \sin(w \cdot 2 \cdot \Delta t) \end{aligned} \quad (4)$$

식(4)를 이용하여 y_2 및 y_3 를 소거한다.

$$\begin{aligned} I^{DC}(N+2) &= c_1 I^{lm}(N+0) + c_2 I^{lm}(N+1) + c_3 I^{lm}(N+2) \\ &= y_1 \cdot (c_1 e^{\frac{j\Delta t}{T}} + c_2 e^{\frac{j\Delta t}{T}} + c_3 e^{\frac{j\Delta t}{T}}) \end{aligned} \quad (5)$$

여기서,

$$c_1 = \cos(w \cdot 1\Delta t) \cdot \sin(w \cdot 2\Delta t) - \sin(w \cdot 1\Delta t) \cdot \cos(w \cdot 2\Delta t) \quad (6)$$

$$c_2 = \sin(w \cdot 0\Delta t) \cdot \cos(w \cdot 2\Delta t) - \cos(w \cdot 0\Delta t) \cdot \sin(w \cdot 2\Delta t)$$

$$c_3 = \cos(w \cdot 0\Delta t) \cdot \sin(w \cdot 1\Delta t) - \sin(w \cdot 0\Delta t) \cdot \cos(w \cdot 1\Delta t)$$

$$(c_1 e^{\frac{j\Delta t}{T}} + c_2 e^{\frac{j\Delta t}{T}} + c_3 e^{\frac{j\Delta t}{T}}) = d_1 \quad (7)$$

으로 치환하면,

$$I^{DC}(N+2+k) = c_1 I^{Im}(N+0+k) + c_2 I^{Im}(N+1+k) + c_3 I^{Im}(N+2+k)$$

$$= d_1 \cdot y_1 e^{-\lambda_0 k \Delta t} \quad (8)$$

단, $\lambda_0 = \frac{1}{\tau}$

식(8)의 연속되는 두 샘플을 이용하여 식(9)를 유추 한다.

$$\frac{I^{Im}(N+2+k+1)}{I^{Im}(N+2+k)} = \frac{d_1 \cdot y_1 e^{-\lambda_0 (k+1)\Delta t}}{d_1 \cdot y_1 e^{-\lambda_0 k \Delta t}} = e^{-\lambda_0 k \Delta t} \quad (9)$$

식(9)를 이용하여 DC-Offset을 구한다.

$$\therefore y_1 = \frac{I^{Im}(N+2+k)}{d_1 \cdot e^{-\lambda_0 k \Delta t}} \quad (10)$$

2.3 DC-Offset 보상 및 기본파 Phasor의 연산

식(10)에서 구한 y_1 을 이용하여 DC-Offset이 제거된 기본파 폐이저를 구할 수 있다.

$$I^{Im}(N+2+0) - y_1 \cdot e^{-\frac{\lambda_0 \Delta t}{2}} = y_2 \cdot \cos(\varphi 0 \cdot \Delta t) + y_3 \cdot \sin(\varphi 0 \cdot \Delta t) \quad (11)$$

$$I^{Im}(N+2+1) - y_1 \cdot e^{-\frac{\lambda_0 \Delta t}{2}} = y_2 \cdot \cos(\varphi 1 \cdot \Delta t) + y_3 \cdot \sin(\varphi 1 \cdot \Delta t)$$

식(11)을 연립하여 기본파의 실수부와 허수부를 구한다.

2.4 알고리즘의 검증

본 알고리즘의 검증을 위해 EMTP를 이용하여 고장을 모의했으며 모델계통은 그림1에서 보인 것과 같이 154[kV], 80[km] 1회선 가공 송전선로에서 고장 위상각 0°의 A상 1선 지락 및 AB상 선간 단락 고장을 모의하였다. 이 때 1선지락고장의 위치는 선로의 10[%]와 50[%] 및 90[%]지점의 세가지 경우를 고려했고 고장저항의 영향을 알아보기 위해 고장저항 20[ohm]을 모의하였다.

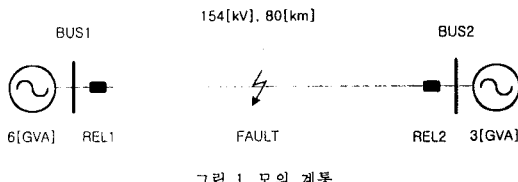


그림 1. 모의 계통

2.4.1 소프트웨어 모의 결과

이러한 송전선로 모델을 한주기 36샘플링하여 각각의 다른 고장거리에서 사고를 모의하였을 때 기존의 DFT 알고리즘과 본 새로운 알고리즘을 적용하여 비교하였다.

그림 2와 3은 각각의 거리에서 a상 0°사고시의 R, X를 기존 DFT 알고리즘과 새로운 알고리즘에서 비교한 그림이다. 전류신호에서 0°고장시에 지수함수적으로 감쇄하는 DC-Offset의 영향으로 기존 알고리즘에서는 R, X궤적이 진동하나, 새로운 알고리즘에서는 R, X궤적이 진동없이 수렴하는 것을 볼 수 있다.

그림 4와 5는 같은 선로 조건에서 1선지락고장시의 고장저항이 20[Ohm]일 때 R, X 궤적이다.

그림 6과 7은 10%지점 사고시 R, X를 R-X 평면에 나타냈으며 같은 사고시 제시된 새로운 알고리즘을 사용한 결과가 더 빨리 고장치에 수렴함을 확인할 수 있다.

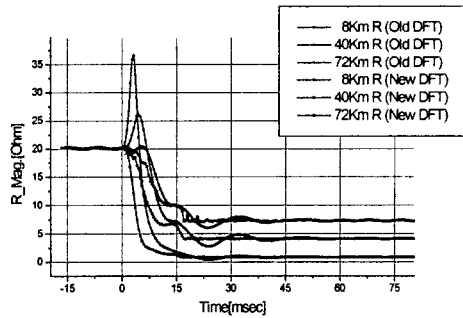


그림 2 각 고장거리에서 기존 DFT와 DC제거 DFT의 R 비교

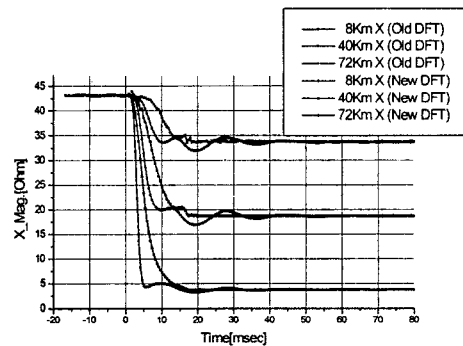


그림 3. 각 고장거리에서 기존 DFT와 DC제거 DFT의 X 비교

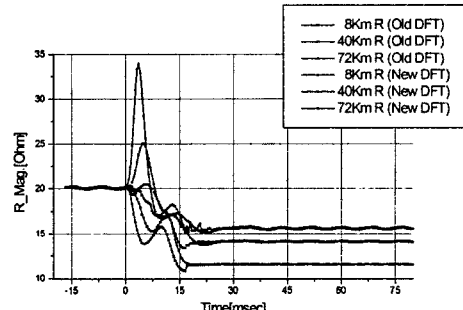


그림 4. 고장저항 20[Ohm]에서의 R 비교

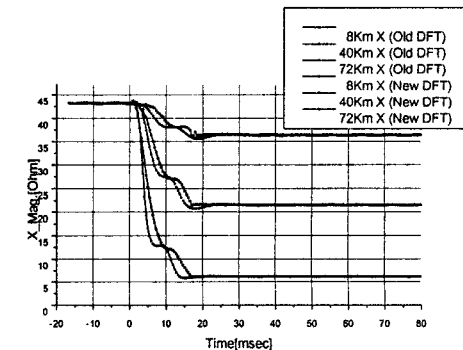


그림 5. 고장저항 20[Ohm]에서의 X 비교

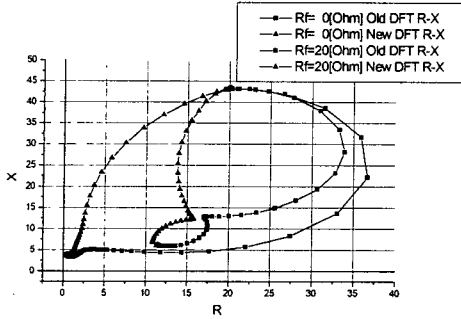


그림 6. 10% 지락고장시 각각의 고장저항을 고려한 R-X 케적

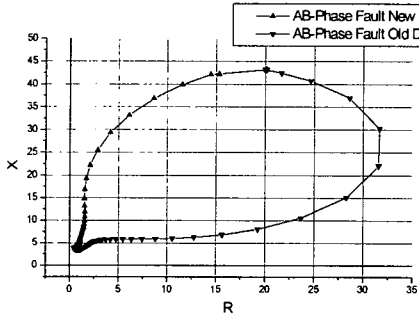


그림 7. AB상 단락사고시 R-X Plain

2.4.2 하드웨어 모의 결과

본 논문에서는 제시된 알고리즘을 DSP Starter Kit를 이용하여 하드웨어 모의를 하였다. DSK는 TI사의 TMS320C32[3]를 주 프로세서로 하며 12비트 8채널의 ADC(Analog to Digital Converter)를 장착한 32비트 부동소수점 연산의 DSP보드이다. EMTP 데이터를 아날로그 파형으로 입력시키기 위해 PCL727 DAC(Digital to Analog Converter)보드를 사용했고 이 신호는 아날로그 저역통과필터를 통해 DSP 보드에 입력된다. Development Tool로서 Code composer 3X4X와 XDS-510을 이용하여 디버깅 및 데이터를 취득하였다. 하드웨어용 고장모의는 A상 지락고장 및 AB상 단락고장을 모의하였고 한주기 12샘플링하여 결과값을 R-X 평면에서 나타내었다.

하드웨어 모의 결과가 소프트웨어 결과와 차이를 보이는 것은 EMTP 데이터의 DAC 시의 오차에 따른 것이다.

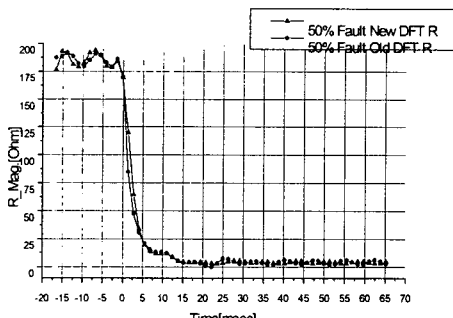


그림 8. 50% A상 지락사고시 R의 비교

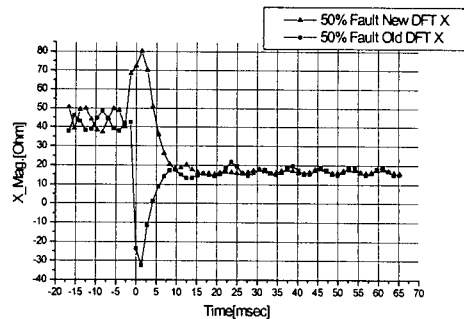


그림 9. 50% A상 지락사고시 X의 비교

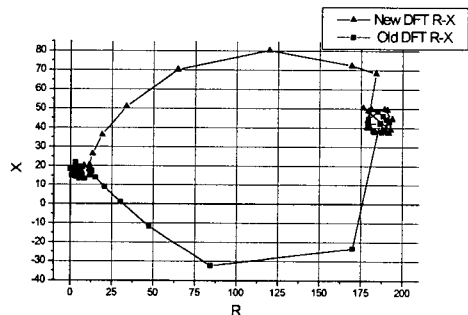


그림 10. 50% A상 사고시 R-X 케적

3. 결 론

본 논문에서는 DFT(Discrete Fourier Transform)을 이용하여 기본파 페이저성분을 구할 경우, 0도 고장시 전류성분에서 주로 발생하는 DC-Offset 성분을 대수적인 방법을 이용하여 정확히 제거할 수 있는 방법을 제시하였다.

제시된 알고리즘은 한주기 12 샘플링으로 DSP를 이용한 실시간 모의를 통해 고장 후 R,X 수치를 비교적 정확히 나타낸다. 선로의 0도 고장시 입력신호에서 DC 성분의 정확한 값을 구하므로 종전의 시정수를 사용하는 DC 필터보다 우수하게 DC-Offset 성분을 추출하여 제거 가능하며 S/W 및 H/W Simulation을 통하여 이를 검증하였다.

(참 고 문 현)

- (1) P.G. McLaren, M.A .Redrern "Fourier-Series Techniques Applied to Distance Protection", PROC IEE, Vol. 122, No.11, November 1975
- (2) A.T.Johns, S.K. Salman, "Digital Protection for Power Systems", IEE Power Series 15, pp. 72-114
- (3) TI "TMS320C32 USER'S GUIDE" | JANUARY 1995
- (4) Jyh-Chehng Gu, Sun-Li Yu "Removal of DC Offset in Current and Voltage Signals Using a Novel Fourier Filter Algorithm" IEEE TRANSACTIONS ON POWER DELIVERY, VOL. 15, NO. 1, JANUARY 2000